

名古屋大学 学生員○牧野時則  
名古屋大学 正員 山田健太郎  
名古屋大学 正員 菊池洋一

### 1. まえがき

橋梁部材の疲労試験は、広範に行なわれてきた。しかし、これら多くの試験では、き裂発生部分の状況および最終破断寿命だけが報告されており、き裂の発生およびその後の伝播過程に関するものは、注意が払われてこなかったりである。そこで、本研究では破壊力学的手法、すなはちき裂先端特性値とひびき応力拡大係数と、き裂伝播速度  $d\delta/dN$  の関係式より得られる伝播寿命を検討するため、リア十字すみ内溶接継手疲労試験で、とくに試験中塗料によりマーキングを行ない進展中のき裂の状況をとらえることに努力した。その結果、進展中のき裂形状および寸法などが得られ、これを用いて破壊力学的手法により疲労伝播寿命の解析を行なった。

### 2. 試験片

使用した材料はSMA50であり、試験片の形状と寸法を図-1に示す。試験片は、母材ワロール方向と直角に6cmのクリアを手溶接した板から幅8cmの裏片形試験片を切り出すことによつて製作した。

### 3. 試験方法

試験は、容量100トンのアムスラー型疲労試験機を用いて定応力振幅疲労試験を行なつた。応力範囲は、 $25, 18, 15, 13 \text{ kg/mm}^2$  の4段階にて117.5回繰り返し速度は540回/分である。

試験片の彫挫による曲がりは油圧ジャッキにより矯正した。試験片には表裏2枚あつては千枚ひずみゲージを貼付しておき、静的・動的載荷時ひずみの読みが同一の値となるようにした。試験片ごとに被覆して試験を行なつた。また、疲労試験中にき裂の進展過程を観察するために、浸透性の良い切削用塗料を溶接止端部に塗布し、マーキングを行なつた。

### 4. 試験結果

S-N線図を図-2に示す。図中の実線は回帰直線であり、破線は95%信頼区間を示す。図には応力範囲  $\Delta\sigma = 13 \text{ kg/mm}^2$  における試験結果を示す。ここで応力範囲  $\Delta\sigma = 13 \text{ kg/mm}^2$  にて試験片2本に対して、さうに応力範囲を  $18 \text{ kg/mm}^2$  に上げて破断させた結果を○印で示す。この2本の結果から最悪から  $\Delta\sigma = 18 \text{ kg/mm}^2$  といた場合の破断寿命との差異は認められなかつた。試験片は、すべて溶接止端部から発生したき裂から疲労破断した。また、塗料によりマーキングされた大きさのき裂は、大半が半梢円形状であり試験片幅8cmにわたって各試験片に2~5個のき裂が同時に発生していることが観察された(写真-1)。その他、半トネル状のき裂の一端が観察された。これよりマーキングにより見つけられた半梢円形のき裂の形状を倍率  $\times 25, \times 50$  の顕微鏡により観察した。その結果を両対数上に横軸をき裂半幅  $b$ 、横軸をき裂深さ  $a$  として図-3に示す。この図よりき裂形状は、 $a/b = 0.17 \sim 0.79$  の半梢円き裂であることがわかつた。なお、応力範囲によるき裂形状の

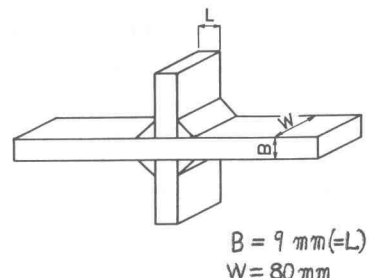


図-1 試験片の形状と寸法

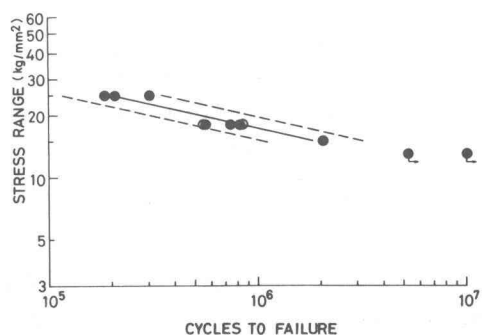


図2. S-N図

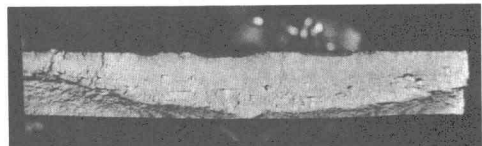


写真-1. 止端部の破断面

差異は認められなかつた。図-4には、縦軸を各試験片のマーキングき裂のうち最大き裂深さとし、横軸を破断寿命 $N_f$ に対するマーキングした時点の繰り返し数 $N_{eq}/N_f$ 比 $N_{eq}/N_f$ として示した。この図に示すように、破断寿命の30%を過ぎた時点でマーキングした場合、き裂が観察された。全てのマーキングき裂うち最も浅いき裂深さは、 $a=0.44\text{ mm}$ であつた。なお、図中の矢印記号付117115データは、マーキングした時点ではき裂に相当するマークが残らなかつたことを示すものである。また、応力範囲 $\Delta \sigma = 13\text{ kg/mm}^2$ とし、520万回および1000万回の繰り返して破断しなかつた2試験片につきも同様にマーキングを行なつたが、き裂は認められなかつた。

したがつて、前述したように $\Delta \sigma = 18\text{ kg/mm}^2$ で破断した3本と

疲労寿命も同一であることを考慮すると、500万回、1000万回の繰り返し載荷は、少なくとも疲労き裂を発生せらるるに至らなかつたと考えられる。これらマーキング時点のき裂から破断するまでの寿命は、疲労き裂の伝播寿命の一部をなすものであり、次に5.で述べる破壊力学による疲労き裂の解析と対象となる。

## 5. 解析

き裂伝播解析には、次式に示すような Parisによつて表わされたき裂伝播速度式を用いた。

$$\frac{da}{dN} = C \cdot (\Delta K)^m \quad \dots \dots \dots (1)$$

ここで、 $a$ ：き裂深さ、 $N$ ：繰り返し数。

$\Delta K$ ：応力拡大係数範囲 ( $\text{kg/mm}^{3/2}$ )。

$da/dN$ ：き裂伝播速度 ( $\text{mm/cycle}$ )。

$C, m$ ：材料定数。

材料定数としては、Barsoomの結果より  $C = 1.43 \times 10^{-9}$ ,  $m = 3$  を用いた。ここで、き裂形状を表わす  $a/b$  値と17は、図-4に示した試験結果より  $a/b = 1/3$  と仮定した。また、試験から得られた試験片に存在する数個のき裂うち最大のき裂を、初期き裂  $a_i$  とし、最終き裂としては板厚を用いて上式を積分して伝播寿命を數値計算した。図-5には、(1)解析結果とし、き裂の大きさを縦軸に、(2)き裂の大きさから破断まで残存寿命を横軸として両対数上にプロットした残存寿命曲線を示す。また、図中には前述のマーキングから得られたき裂の大きさと、そのき裂から最終き裂までの残存寿命実験結果を、各応力レベルについて記号を変えて示した。その結果、応力レベルが大きい場合には比較的良好な一致を示した。

## 6. 結語

試験結果、切削用塗料でのマーキングにより、進展中のき裂形状および寸法が良好に観察できた。このマーキングき裂から破断までは、破壊力学的手法によつて解析が可能であることがわかつた。

## [参考文献]

Rolfe, Barsoom; Fracture and Fatigue Control in Structures. Prentice Hall, 1977.

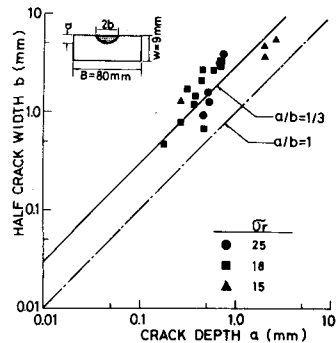


図-3. クラック形状。

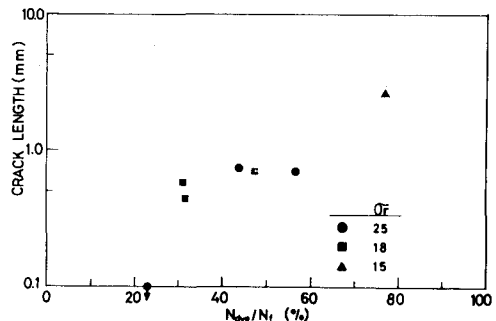


図-4. き裂の大きさとマーキングの時点

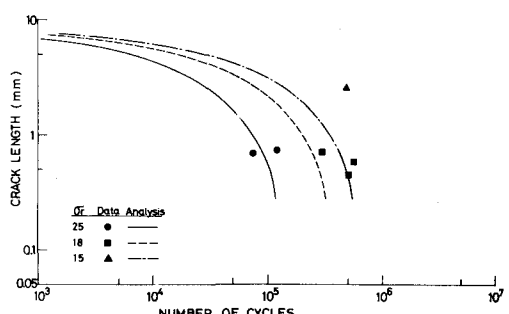


図-5. 残存寿命曲線の計算値と実験値の比較。